



Հայաստանի Կենսաբ. հանդես, 3(66), 2014

ԱՎՃԱՅԻՆ ՀԱՆԳՈՒՅՑՆԵՐԻ ԱԽՏԱՐԱՐՈՒՄԸ ԽՈՉԵՐԻ ԱՖՐԻԿՅԱՆ ՍՈՒՐ ԺԱՆՏԱԽՏԻ (ԳԵՆՈՏԻՊ II) ԺԱՄԱՆԱԿ

L.Ն. ՍԻՄՈՆՅԱՆ

ՀՀ ԳԱԱ Մոլեկուլային կենսաբանության ինստիտուտ
Բջջի կենսաբանության և վիրուսաբանության լաբորատորիա,
lilusimon@gmail.com

Ուսումնասիրվել է ավշային հանգույցների ախտաբանությունը խոզերի աֆրիկյան սուր ժանտախտում (ախտահարված գենոտիպ II վիրուսով) հիվանդության դիսամբիայում: Հիվանդության դրսւորման առաջին օրից արյան շիճուկում նկատվում է վիրեմիա: Ավշային հանգույցների ախտահարվում են հիվանդության վաղ փուլերից սկսած (2-3-րդ օր): Ավշային հանգույցների հիմնական ախտաբանական փոփոխություններն են արյունազեղումները, ավշային ֆոլիկուլների հիպերպլազիան, որին հաջորդում է հիպոպլազիան:

Խոզերի աֆրիկյան ժանտախտ – ավշային հանգույց – ավշային ֆոլիկուլ –
արյունազեղում – հիպերպլազիա – հիպոպլազիա

Исследована патология лимфатических узлов при африканской чуме свиней (АЧС) (зараженных вирусом генотипа II) в динамике острой формы болезни. С первого дня болезни в сыворотке крови была обнаружена виреемия. Нами показано, что при АЧС, вызываемой генотипом II, лимфатические узлы поражаются на начальных стадиях болезни (на 2-3-й день). Основными патологическими изменениями лимфатических узлов являются: кровоизлияние, гиперплазия лимфатических фолликул, на поздних стадиях гипоплазия.

*Африканская чума свиней – лимфатический узел – лимфатический фолликул –
кровоизлияние – гиперплазия – гипоплазия*

Lymph nodes pathology of the pigs in the dynamics of acute African swine fever (infected by genotype II virus) was studied. Viremia was revealed in blood serum from the first day of disease. The lymph nodes were affected from the early stages (2-3 post infection days). The main pathological changes in lymph nodes were hemorrhages, hyperplasia of lymph follicles, which is followed by hypoplasia.

African Swine fever – lymph node – lymph follicle – hemorrhage – hyperplasia – hypoplasia

Խոզերի աֆրիկյան ժանտախտի սուր տարբերակը ծանր, մահացու ելքով վիրուսային հիվանդություն է, որը կաթևասուներից ախտահարում է միայն խոզերին: Աֆրիկյան ժանտախտի վիրուսը խոշոր, լրացուցիչ թաղանթով, երկշղթա ԴՆԹ-ով վիրուս է, որը Asfarviridae ընտանիքի միակ ներկայացուցիչն է: Խոզի օրգանիզմում վիրուսը բազմանում է հիմնականում մինոնուկլեար ֆազոցիտային համակարգի բջիջներում, հատկապես մոնղոլիաներում և մակորֆազերում: Հիվանդության ավելի ուշ շրջանում կարող են ախտահարվել նաև այլ բջիջներ: Աֆրիկյան ժանտախտի վիրուսը միակ ԴՆԹ այրովվիրուս է, որը փոխանցվում է հոդվածոտանիների միջոցով (Ομιթիոդորոս տգեր): Վիրուսի գենումը պարունակում է մոտավորապես 150 գեն: Վիրուսի ԴՆԹ-ն կոդավորում է իր գենումի ռեալիկացիային և տրանսկրիպցիային անհրաժեշտ ֆերմենտներ, կառուցվածքային սպիտակուցներ և այնպիսի սպիտակուցներ, որոնք կարևոր են տիրոջ օրգանիզմում վիրուսի պահպանման և տարածման համար: Վիրուսի ԴՆԹ-ն կոդավորում է նաև ախտահարված բջիջների ապոպտոզին նպաստող սպիտակուցներ [1]:

Աֆրիկյան ժանտախտն առաջին անգամ Նկարագրել է Մոնթգոմերին 1921 թվականին որպես Ենթասուր կամ սուր վարակիչ հիվանդություն, որը բնութագրվում է 100% մահացությամբ, նկատելի արյունազեղումներով, այտուցով և կոագուլուպաթիայով: Մատուցերը և այլոք փաստել են, որ առաջին ախտահարումները հայտնաբերվում են լիմֆոիդ հյուսվածքներում [2,9]:

Ինչպես հայտնի է խոզերի ավշային հանգույցներում կեղևային և միջուկային լյութերը տեղակայված են հակառակ (ի տարբերություն մարդու): Նախ միջուկային լյութեն է, ապա՝ կեղևային [3]: Պերիֆերիան՝ ծայրամասը, պարունակում է մակոնֆագեր և պլազմոնցիտներ: Ծոցերն ավելի ներ են, փափկալարերը բացակայում են: Փոքր ավշային հանգույցները կարող են միաձուլվել և առաջանել խոշոր հանգույց: Յանգույցի դրունքը հաճախ դժվար տեսանելի է:

Խոզերի ավշային հանգույցների ֆուլիկուլներում գերմինատիվ (centrum germinale) կամ բազմացման կենտրոնի լուսավոր գոտին (light zone) հստակ տարբերակելի չէ մուգ գոտուոց (dark zone) ինչպես մարդու մոտ: Լուսավոր գոտին տեղակայված է գերմինատիվ կենտրոնի բներում՝ ավշային հանգույցի պատիճից հեռու (ունի հակառակ դասավորություն ի տարբերություն մարդու): Պասակի ձևով դասավորված լիմֆոցիտները նույնպես գտնվում են գերմինատիվ կենտրոնի խորքում՝ պատիճից հեռու: Խոզերի ավշային հանգույցներում տրաբեկուլները՝ շարակցահյուսվածքային խտրոցները, անցնում են ողջ հանգույցով, իսկ գերմինատիվ կենտրոնների լուսավոր գոտին ուղղված է դեպի տրաբեկուլները՝ հաճախ լիմֆոցիտների պասակի հետ միասին: Ինչպես ցույց են տվել Բառմը և Գրաուն, խոզերի մոտ ավշօք հանգույց է թափանցում ոչ թե հանգույցի ուռուցիկ կողմից, այլ դրունքով և տրաբեկուլներով, իսկ դուրս գալիս՝ պերիֆերիայից [7]:

Ավշային հանգույցների հիմնական ֆունկցիան ֆիլտրումն է և ֆագոցիտողը, ինչպես նաև լիմֆոպայեզը և իմունոլոգիական պաշտպանությունը:

Աֆրիկյան ժանտախտով վարակված խոզերի մոտ նկատվում է շերմության բարձրացում, անորեքսիա, մաշկի ցիանոզ, սրտի զարկերի և շնչառության հաճախականության մեծացում: Յիշվանդրությանը բնորոշ է վիրեմիա, ներքին օրգանների համակարգային ախտահարումներ և մահ [4, 10]:

Վարակված խոզերի մոտ նախկինում ուսումնասիրվել են ավշային հանգույցների ախտահարումները [2,4,10], սակայն գենոտիպ II վիրուսի դեպքում ուսումնասիրությունները կատարվում են առաջին անգամ: Մեր նպատակն է ուսումնասիրել խոզերի ավշային հանգույցների հյուսվածքաբանական և ախտաանատոմիական փոփոխությունները խոզերի աֆրիկյան սուր ժանտախտի (ախտահարված գենոտիպ II վիրուսով) դիսամիկայում:

Նյութ և մեթոդ: Խոզերին վարակել են կիրառելով աֆրիկյան ժանտախտի վիրուսը (գենոտիպ II): Վիրուսի տիտրը յուրաքանչյուր ներմկանային ներարկման համար կազմում էր 10^4 - $50%$ հեմալսորցին դոզա (HAD50)/մլ: Վարակի ընթացքում կատարվել է վիրուսի տիտրում և ներկայացվել որպես log₁₀ HAD50/մլ [5]:

Հետազոտությունները համար օգտագործվել են նույն տարիքի (3 ամսական) և 30-33 կգ քաշով 12 առաջ խոզ (Landrace breed) [8]:

Բոլոր խոզերից մինչև ներարկումը վերցվել են արյան նմուշներ ստուգիչ արժեքների համար՝ պահպանելով հեմոլիզից և հյուսվածքների վարակումից խուսափելու պայմանները: Արյան նմուշները վերցվել են առաջնային սիներակից [11]:

10 խոզ վարակվել են ներմկանային ներարկման ճանապարհով, իսկ երկուսը, որոնց ներմկանային ներարկվել է 0,1 մլ ֆիզ. լուծույթ, օգտագործվել են դրանք զվարակված ստուգիչ խումբ [6]: Կենդանիների ինսամբը և էֆրանազիան կատարվել է համաձայն ամերիկյան անսանսարույժների թժկական ասցիդացիայի էֆրանազիայի մասին ուղեցույցի և կենդանիների ինսամբի ու կիրառման ուղեցույցի (ԳԱԱ Մոլեկուլային կենսաբանության ինստիտուտի ներինստիտուտային վերահսկող խորհրդի/Էթիկայի անկախ կոմիտեի, ԽՀԿՆ00004079):

Վարակված և ստուգիչ խմբի խոզերի էֆրանազիան կատարվել է ածխածնի երկօբսիդի ինհալացիայի միջոցով (75-80% ածխածնի երկօբսիդ 20 րոպեում):

Յուսվածաբանական հետազոտությունների համար վերցված ավշային հանգույցները ֆիբրովել են ֆորմալին 10%-անց չեղոք լուծույթում, ապա կարծրացվել պարաֆինով: Դատրաստվել են 4-5 մկմ հաստությամբ լայնական կտրվածքներ ռոտորային միկրոսունով:

Դրեպարատուները ներկվել են հեմատոքսիլին եղինուկ, ուսումնասիրվել են Leica DM1000 մանրադիտակով, արվել են միկրոֆուտորուսամկաններ Leica DMA թվային ֆոտոխցիկով:

Վիճակագրական վերլուծությունը կատարվել է ըստ Student's t-test-ի:

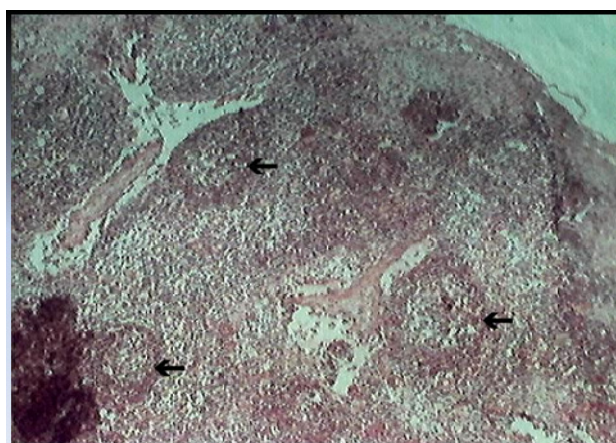
Արդյունքներ և բնապրկում: Աֆրիկյան ժանտախտի վիրուսով վարակված խոզեղի մոտ առաջին կլինիկական ախտանշաններն ի հայտ են գալիս վարակումից 2-3 օր հետո ախտքակի անկումով, դեպրեսիայով: 2-4-րդ օրերի ընթացքում դիտվում է հիպերթերմիա՝ մինչև 40°C : Միևնույն ժամանակ նկատվում են վարքի անկում, դժվարություն շնչառության պրոցեսում և մաշկի կարմրություն: Վարակելուց 5-6 օր հետո խոզեղի մոտ նկատվում է արյունային լուծ (միայն 20% դեպքերում) և որոշ խոզեղի մոտ կոմատոզ վիճակ: Բոլոր վարակված խոզերը էֆթանազիայի են ենթարկվել 6-7-րդ օրը: Եթե առաջին կլինիկական ախտանշաններն ի հայտ են գալիս միայն 2-3-րդ օրը, ապա վիրեմիան նկատվում է արդեն վարակումից հետո 1-2-րդ օրերին և հասնում է իր գագաթնակետին 5-6-րդ օրերին: Բոլոր վարակված խոզեղի մոտ արյան շիճուկում վիրուսի բարձր տիտր (մինչև 104-105 HAD) գրանցվել է 1-ին օրից մինչև հիվանդության տերմինալ փուլը ($p<0.05-0.01$):

Դերձման արդյունքում ավշային հանգույցներում հայտնաբերվել են մասնակի այունազեղումներ, սկսած հիվանդության 3-րդ օրից, իսկ հիվանդության ավելի ուշ շրջանում ախտահարված էին ավշային հանգույցների մեծ մասը: Վխտահարված ավշային հանգույցներն ունեն մուգ կապույտ գույն, իսկ լայնական կտրվածքում նկատելի են մասնակի կամ միախառնված արյունազեղումներ (նկ. 1): Սումատիկ և վիսցերալ ավշային հանգույցների ախտանատումիական հետազոտություններում հայտնաբերված փոփոխությունները սկզբում բնութագրվում են սերոզ, ապա սերոզ-հեմորագիկ և հեմորագիկ լիմֆադենիտով:



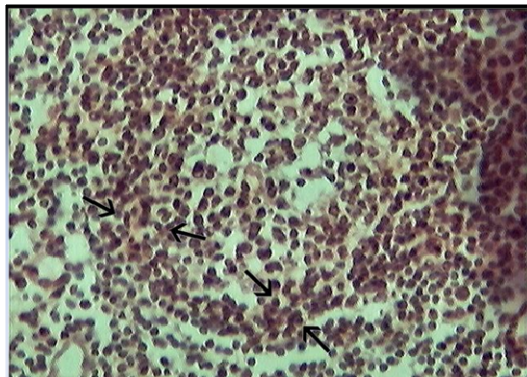
Նկ. 1. Վխտահարված ավշային հանգույց գանգվածային արյունազեղումներով

Ավշային հանգույցների հյուսվածաբանական հետազոտություններում լավ տեսանելի են ավշային ֆոլիկուլները բազմացման կենտրոններով (նկ. 2):



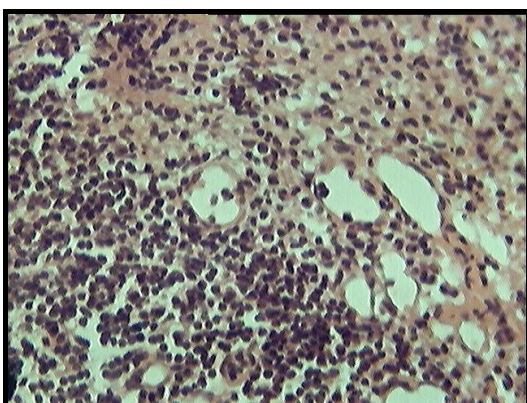
Նկ. 2. Ավշային ֆոլիկուլ բազմացման կենտրոնում, օբ. x 4, օկ. x 10
(ավշային ֆոլիկուլների բազմացման կենտրոնները նշված են սլաքներով)

Վարակման 3-րդ օրից սկսած ավշային հանգույցներում մանրադիտակային հետազոտությունների արդյունքում հայտնաբերվում են ախտաբանական փոփոխություններ: Առաջնային ախտաբանական փոփոխությունները ընութագրվում են էրիթրոցիտների ներթափանցման և պարենքիմային բջիջների նվազման պատկերով (Ակ. 3):



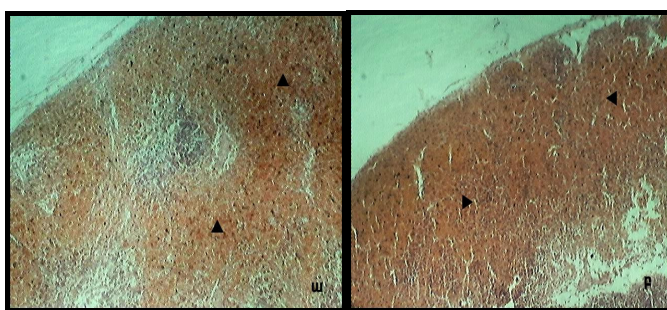
Ակ. 3. Ախտահարված ավշային հանգույցը հիվանդության 3-րդ օրը, օբ. x 25, օկ. x 10 (էրիթրոցիտների ներթափանցումը նշված է սլաքներով)

Պարենքիմայում շատանում են ախտահարված և բայթայված բջիջների թիվը (Ակ. 4):



Ակ. 4. Ախտահարված բջիջներն ավշային հանգույցում, օբ x 25, օկ. x 10

Հիվանդության ավելի ուշ փուլերում ավշային հանգույցներում հայտնաբերվում են հեմորագիկ լիմֆադենիտ (Ակ. 5ա, բ):



Ակ. 5. Հեմորագիկ լիմֆադենիտ (ավշային հանգույցի բորբոքում) հիվանդության 4-րդ (ա) և 6-րդ (բ) օրը, օբ x 4, օկ. x 10 (նշված է սլաքներով)

Արյունագեղումների ինտենսիվությունը մեծանում է և հիվանդության տերմինալ փուլում տարբեր աստիճանով ախտահարված են լիսում ավշային հանգույցների 60 %-ից ավելին: Որոշ ավշային հանգույցներում հանդիպում է նաև հիպերալազիա, որը, հավանաբար, հանդիսանում է կոմաբենսատոր ռեակցիա: Որոշ դեպքերում հիպերալազիան ավշային ֆոլիկուլների դատարկման հետևանքով փոխարինվում է հիպոալազիայով: Ավշային ֆոլիկուլներում նկատվում են արյունագեղումներ:

Այսպիսով, մեր կողմից կատարված աշխատանքում ցույց է տրված, որ խոզերի աֆրիկյան սուր ժանտախտ հիվանդության ամենավաղ փուլերից սկսած (2-3-րդ օր) առաջանում են ավշային հանգույցների ախտահարումներ՝ մասնակի, իսկ հետագայում զանգվածային արյունագեղումների տեսքով: Նկարագրվել են նաև ավշային ֆոլիկուլների հիպերալազիա, որն ավելի ուշ փուլերում լիմֆատիկ թշչների արտադրման հետևանքով փոխվում է հիպոալազիայի:

ԳՐԱԿԱՆՈՒԹՅՈՒՆ

1. *Makarov B.B.* Африканская чума свиней, Российский университет дружбы народов, М., 2011.
2. *Anderson E.C.* African swine fever: Current concepts on its pathogenesis and immunology. Rev. sci. tech. Off. int. Epiz., 5, 2, 477-486, 1986.
3. *Binns R.M. and Hall J.G.* The Paucity of lymphocytes in the lymph of unanaesthetised pigs. The British Journal of Experimental Pathology, 47, 3, 275-280, 1966.
4. *Carrasco L., Chacón-M de Lara F., Martín de Las Mulas J., Gómez-Villamandos J.C., Sierra M.A., Villeda C.J., Wilkinson P.J.* Ultrastructural changes related to the lymph node haemorrhages in acute African swine fever. Res Vet Sci., 62, 3, 199-204, 1997.
5. *Enjuanes L., Carrascosa A.L., Moreno M.A., Viñuela E.* Titration of African swine fever (ASF) virus. J Gen Virol. 32, 471-477, 1976.
6. *Howey E.B., O'Donnell V., de Carvalho Ferreira H.C., Borca M.V., Arzt J.* Pathogenesis of highly virulent African swine fever virus in domestic pigs exposed via intraoropharyngeal, intranasopharyngeal, and intramuscular inoculation, and by direct contact with infected pigs. Virus Res. 2013 Dec 26;178(2):328-39. doi: 10.1016/j.virusres.2013.09.024. Epub 2013 Sep 26.
7. *Hunt A.C.* Micro-anatomy of the lymph nodes of the pig. British Journal of Experimental Pathology, XLIX, 4, 338-339, 1968.
8. *Karalyan Z., Zakaryan H., Arzumanyan H., Sargsyan K., Voskanyan H., Hakobyan L., Abroyan L., Avetisyan A., Karalova E.* Pathology of porcine peripheral white blood cells during infection with African swine fever virus. BMC Vet Res. 28;8:18. doi: 10.1186/1746-6148-8-18, 2012 Feb.
9. *Maurer F.D., Griesmer R.A. and Jones T.C.* The pathology of African swine fever – a comparison with hog cholera. Am. J. vet. Res., 19, 517-593, 1958.
10. *Rodriguez F., Fernández A., Martín de las Mulas JP., Sierra MA., Jover A.* African swine fever: morphopathology of a viral haemorrhagic disease. Vet Rec., 139, 11, 249-54, 1996.
11. *Zhang W.R., Ku P.K., Miller E.R. and Ullrey D.E.* Stability of glutathione peroxidase in swine plasma samples under various storage conditions. Can. J. Vet. Res., 50, 390-392, 1986.

Սուսացվել է 24.03.2014